

光学图像位相调制密度彩色化色彩的实时调试

周 焜 陈祯培 钟永碧

(四川大学物理系)

Real-time color debugging of optical images pseudocoloring density with phase modulation

Zhou Kun, Chen Zhenpei, Zhong Yongbi

(Department of Physics, Sichuan University, Chengdu)

提要: 阐述了光学图像位相调制密度彩化实时调试的一种新方法, 严格论证了色彩实时调试的基本原理, 进行了实验证明。

关键词: 位相调制, 假彩色, 编码位相片

验证明。

一、引言

“光学图像位相调制彩色化新技术”^[1~4]是图像按密度彩色化的一种新方法。其优点是色饱和度高, 图像清晰, 亮度高。因而具有良好的使用价值。

图像的彩色情况随编码位相片的调制深浅而定。已作好的编码位相片的色彩输出还依所取级次而异。对应某一密度已作好的编码位相片, 当取零级或偶数级输出, 基本为一种色调; 当取奇数级时, 基本为零级输出的互补色。彩色情况不能实时连续改变, 这给使用上带来一定的不便。

本文阐述的方法, 是将光栅与编码位相片平行密接, 然后轻微平移光栅, 即可连续随意调节编码位相片的彩色输出特性。它更加完善了“光学图像位相调制密度彩色化”这一新技术。文章将从不同角度严格论证双光栅法的调色原理, 并对各理论分析分别进行实

二、基本原理

将一制作好的编码位相片与同一空间频率的黑白矩形光栅(或位相光栅)重叠置于白光信息处理系统的输入面, 并仔细调整使二光栅方向严格平行, 此时在系统输出面得到编码位相片的密度彩色化图像。再仔细连续平移黑白光栅, 输出图像色彩将连续发生变化, 直至色调令人满意时, 停止平移, 即得一幅较好的彩色图像。显然, 此彩色变化仍有周期性, 其周期与光栅周期相同。

2.1 干涉分析

为简便, 设黑白光栅及编码位相片周期为 a , 宽度

$$b = \frac{a}{2},$$

并仅考虑编码位相片中原密度为常数的一个

收稿日期: 1987年12月30日。

小区域,它对应单一色调。

图1中,(A)为黑白矩形光栅,(B)为同周期的编码位相片,其光栅方向严格平行,但有移位值 x_0 。(C)为二者重叠后的复振幅透射率分布示意图。由(C)图可见,在黑白光栅不透光部份仍是不透光,透光部份具有位相差 $\varphi_1 - \varphi_2$ 。

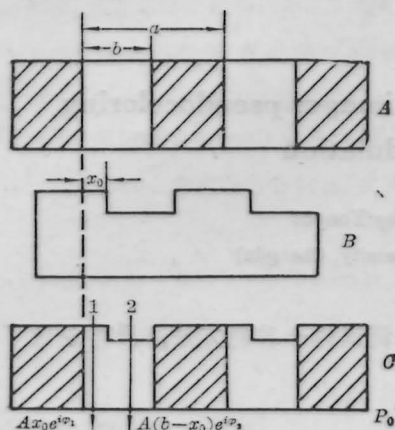


图 1

设平行单色垂直入射波振幅为 $A_0(\lambda)$,透过重叠片后,光束1、2在平面 P_0 直透部份的复振幅分布为 $A_1(\lambda)e^{i\varphi_1}$, $A_2(\lambda)e^{i\varphi_2}$ 。此二光线将会相干叠加。由于是位相片,可设 $A_1 = A_2 = A$ 。光束1宽度为 x_0 ,光束2宽度为 $b - x_0$,故光束1、2之复振幅实际应为 $A(\lambda)x_0e^{i\varphi_1}$, $A(\lambda)(b - x_0)e^{i\varphi_2}$,相干叠加后的复振幅为 $A(\lambda)[x_0e^{i\varphi_1} + (b - x_0)e^{i\varphi_2}]$,故输出强度:

$$\begin{aligned} I_0(\lambda, \varphi, x_0) &= A^2(\lambda) [x_0e^{i\varphi_1} + (b - x_0)e^{i\varphi_2}] \\ &\quad \times [x_0e^{-i\varphi_1} + (b - x_0)e^{-i\varphi_2}] \\ &= A^2(\lambda) [x_0^2 + (b - x_0)^2 \\ &\quad + 2x_0(b - x_0)\cos(\varphi_1 - \varphi_2)] \end{aligned} \quad (1)$$

式中 $\varphi_1 - \varphi_2 = \Delta\varphi = \frac{2\pi}{\lambda} \Delta d$, Δd 为 $\Delta\varphi$ 对应的光程差。

从(1)式看出,单色输出强度是 $\Delta\varphi$ 和 x_0 的函数。因 $\Delta\varphi$ 反映了原片密度变化^[1~4],当用白光入射,则实现了密度假彩色化。且当

$\Delta\varphi$ 由原片密度及调制过程确定后,输出强度则是 x_0 的二次函数,故连续改变 x_0 即可连续改变色彩输出,从而实现颜色的实时调节。公式(1)反映了零级输出特性。

2.2 傅里叶频谱分析

为了便于得到普遍性的结果,宜采用傅里叶频谱分析方法。由于实际上是二光栅平行密接,故首先应写出密接后的总复振幅透射率公式,再由傅里叶变换求频谱,求强度。设光栅周期为 a ,宽度为 b ,其单元振幅透射率为 t_1, t_2 ;编码位相片且有 $b > \frac{a}{2}$,单元振幅透射率为 t_3, t_4 。移位为 x_0 ,如图2所示。

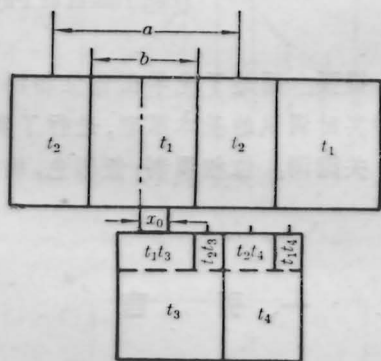


图 2

在区段 $0 \leq x_0 \leq a - b$ (见图2),移位 x_0 使物分成了 $t_1t_3, t_2t_3, t_2t_4, t_1t_4$ 四个部分,故在此区段内总单元振幅透射率:

$$\begin{aligned} t_A(x) &= t_1t_3 \operatorname{rect}\left(\frac{x - \frac{x_0}{2}}{b - x_0}\right) \\ &\quad + t_2t_3 \operatorname{rect}\left(\frac{x - \frac{b + x_0}{2}}{x_0}\right) \\ &\quad + t_2t_4 \operatorname{rect}\left(\frac{x - \frac{a + x_0}{2}}{a - b - x_0}\right) \\ &\quad + t_1t_4 \operatorname{rect}\left(\frac{x - \frac{2a - b + x_0}{2}}{x_0}\right) \end{aligned}$$

在区段 $a - b \leq x_0 \leq b$,类似推导得:

$$\begin{aligned}
t_B(x) &= t_1 t_3 \operatorname{rect}\left(\frac{x - \frac{x_0}{2}}{b - x_0}\right) \\
&+ t_2 t_3 \operatorname{rect}\left(\frac{x - \frac{a}{2}}{a - b}\right) \\
&+ t_1 t_3 \operatorname{rect}\left(\frac{x - \frac{a + x_0}{2}}{b - a + x_0}\right) \\
&+ t_1 t_4 \operatorname{rect}\left(\frac{x - \frac{a + 2x_0}{2}}{a - b}\right)
\end{aligned}$$

在区段 $b \leq x_0 \leq a$,

$$\begin{aligned}
t_C(x) &= t_2 t_3 \operatorname{rect}\left(\frac{x - \frac{a - b + x_0}{2}}{a - x_0}\right) \\
&+ t_1 t_3 \operatorname{rect}\left(\frac{x - \frac{a + x_0}{2}}{x_0 - a + b}\right) \\
&+ t_1 t_4 \operatorname{rect}\left(\frac{x - \frac{a + b + x_0}{2}}{a - x_0}\right) \\
&+ t_2 t_4 \operatorname{rect}\left(\frac{x - \frac{2a + x_0}{2}}{x_0 - b}\right)
\end{aligned}$$

故重叠后总振幅透射率

$$\begin{aligned}
t(x) &= [t_A(x) + t_B(x) + t_C(x)] \\
&\quad * \frac{1}{a} \operatorname{comb}\left(\frac{x}{a}\right) \quad (2)
\end{aligned}$$

对 (2) 式进行傅里叶变换得总傅里叶频谱:

$$\begin{aligned}
T(u) &= \mathcal{F}\{t(x)\} \\
&= T_A(u) + T_B(u) + T_C(u) \quad (3)
\end{aligned}$$

其中

$$\begin{aligned}
T_A(u) &= \left\{ t_1 t_3 (b - x_0) \operatorname{sinc}\left(\frac{b - x_0}{a} \cdot n\right) e^{i\pi x_0 \frac{n}{a}} \right. \\
&+ t_2 t_3 x_0 \operatorname{sinc}\left(\frac{x_0}{a} \cdot n\right) e^{i\pi (b + x_0) \frac{n}{a}} \\
&+ t_2 t_4 (a - b - x_0) \\
&\times \operatorname{sinc}\left(\frac{a - b - x_0}{a} \cdot n\right) e^{i\pi (a + x_0) \frac{n}{a}} \\
&+ t_1 t_4 x_0 \operatorname{sinc}\left(\frac{x_0}{a} \cdot n\right) e^{i\pi (2a - b + x_0) \frac{n}{a}} \left. \right\} \\
&\times \sum_{n=-\infty}^{\infty} \delta\left(u - \frac{n}{a}\right) \quad (0 \leq x_0 \leq a - b);
\end{aligned}$$

$$\begin{aligned}
T_B(u) &= \left\{ t_1 t_3 (b - x_0) \operatorname{sinc}\left(\frac{b - x_0}{a} \cdot n\right) e^{i\pi x_0 \frac{n}{a}} \right. \\
&+ t_2 t_3 (a - b) \operatorname{sinc}\left(\frac{a - b}{a} \cdot n\right) e^{i\pi n} \\
&+ t_1 t_3 (b - a + x_0) \\
&\times \operatorname{sinc}\left(\frac{b - a + x_0}{a} \cdot n\right) e^{i\pi (a + x_0) \frac{n}{a}} \\
&+ t_1 t_4 (a - b) \\
&\times \operatorname{sinc}\left(\frac{a - b}{a} \cdot n\right) e^{i\pi (a + 2x_0) \frac{n}{a}} \left. \right\} \\
&\times \sum_{n=-\infty}^{\infty} \delta\left(u - \frac{n}{a}\right) \quad (a - b \leq x_0 \leq b);
\end{aligned}$$

$$\begin{aligned}
T_C(u) &= \left\{ t_2 t_3 (a - x_0) \right. \\
&\times \operatorname{sinc}\left(\frac{a - x_0}{a} \cdot n\right) e^{i\pi (a - b + x_0) \frac{n}{a}} \\
&+ t_1 t_3 (b - a + x_0) \\
&\times \operatorname{sinc}\left(\frac{b - a + x_0}{a} \cdot n\right) e^{i\pi (a + x_0) \frac{n}{a}} \\
&+ t_1 t_4 (a - x_0) \\
&\times \operatorname{sinc}\left(\frac{a - x_0}{a} \cdot n\right) e^{i\pi (a + b + x_0) \frac{n}{a}} \\
&+ t_2 t_4 (x_0 - b) \\
&\times \operatorname{sinc}\left(\frac{x_0 - b}{a}\right) e^{i\pi (2a + x_0) \frac{n}{a}} \left. \right\} \\
&\times \sum_{n=-\infty}^{\infty} \delta\left(u - \frac{n}{a}\right) \quad (b \leq x_0 \leq a).
\end{aligned}$$

(1) 当 $n=0$ 时, 零级傅里叶谱

$$T_0(u) = T_{0A}(u) + T_{0B}(u) + T_{0C}(u) \quad (4)$$

$$\begin{aligned}
\text{其中 } T_{0A}(u) &= [t_1 t_3 (b - x_0) + t_2 t_3 x_0 \\
&+ t_2 t_4 (a - b - x_0) \\
&+ t_1 t_4 x_0] \delta(u) \\
&\quad (0 \leq x_0 \leq a - b)
\end{aligned}$$

$$\begin{aligned}
T_{0B}(u) &= [t_1 t_3 (b - x_0) + t_2 t_3 (a - b) \\
&+ t_1 t_3 (b - a + x_0) \\
&+ t_1 t_4 (a - b)] \delta(u) \\
&\quad (a - b \leq x_0 \leq b)
\end{aligned}$$

$$\begin{aligned}
T_{0C}(u) &= [t_2 t_3 (a - x_0) + t_1 t_3 (b - a + x_0) \\
&+ t_1 t_4 (a - x_0) \\
&+ t_2 t_4 (x_0 - b)] \delta(u) \\
&\quad (b \leq x_0 \leq a)
\end{aligned}$$

对零级傅里叶谱作逆傅里叶变换得零级像振

幅:

$$t'_0(x) = t'_{cA}(x) + t'_{OB}(x) + t'_{OC}(x) \quad (5)$$

$$\begin{aligned} \text{其中: } t'_{OA}(x) &= t_1 t_3 (b - x_0) + t_2 t_3 x_0 \\ &\quad + t_2 t_4 (a - b - x_0) \\ &\quad + t_1 t_4 x_0 \quad (0 \leq x_0 \leq a - b) \\ t'_{OB}(x) &= t_1 t_3 (b - x_0) + t_2 t_3 (a - b) \\ &\quad + t_1 t_3 (b - a + x_0) + t_1 t_4 (a - b) \\ &\quad (a - b \leq x_0 \leq b) \end{aligned}$$

$$\begin{aligned} t'_{OC}(x) &= t_2 t_3 (a - x_0) + t_1 t_3 (b - a + x_0) \\ &\quad + t_1 t_4 (a - x_0) + t_2 t_4 (x_0 - b) \\ &\quad (b \leq x_0 \leq a) \end{aligned}$$

设黑白矩形光栅与编码位相片平行重叠, 即 $t_1=1, t_2=0, t_3=\alpha e^{i\varphi_1}, t_4=\beta e^{i\varphi_2}$, 式中 $0 < \alpha < 1, 0 < \beta < 1$, 为相应振幅透射率的模, 表示编码位相片还有一定吸收, 这更符合实际情况, 且 $b > \frac{a}{2}$ 。此时零级像振幅:

$$t'_0(x) = \begin{cases} \alpha(b-x_0)e^{i\varphi_1} + \beta x_0 e^{i\varphi_2} & (0 \leq x_0 \leq a-b) \\ \alpha(2b-a)e^{i\varphi_1} + \beta(a-b)e^{i\varphi_2} & (a-b \leq x_0 \leq b) \\ \alpha(b-a+x_0)e^{i\varphi_1} + \beta(a-x_0)e^{i\varphi_2} & (b \leq x_0 \leq a) \end{cases}$$

零级像强度:

$$I_0(x) = t'_0(x) t'^*_0(x) = \begin{cases} \alpha^2(b-x_0)^2 + \beta^2 x_0^2 + 2\alpha\beta x_0(b-x_0) \\ \quad \times \cos(\varphi_1 - \varphi_2) & (0 \leq x_0 \leq a-b) \\ \alpha^2(2b-a)^2 + \beta^2(a-b)^2 \\ \quad + 2\alpha\beta(2b-a)(a-b)\cos(\varphi_1 - \varphi_2) & (a-b \leq x_0 \leq b) \\ \alpha^2(b-a+x_0)^2 + \beta^2(a-x_0)^2 \\ \quad + 2\alpha\beta(b-a+x_0)(a-x_0)\cos(\varphi_1 - \varphi_2) & (b \leq x_0 \leq a) \end{cases} \quad (6)$$

由(6)式可见, $I_0(x)$ 是 $\cos(\varphi_1 - \varphi_2)$ 的函数, 这与单块编码位相片一致, 故可实现密度的彩色化。同时 $I_0(x)$ 又是 x_0 的函数, 故不同 x_0 可改变彩色组合, 从而实现色彩可调。

当 $\alpha=1, \beta=1$, 即编码位相片无吸收时有:

$I_0(x)$

$$= \begin{cases} (b-x_0)^2 + x_0^2 + 2x_0(b-x_0)\cos(\varphi_1 - \varphi_2) \\ \quad (0 \leq x_0 \leq a-b) \\ (2b-a)^2 + (a-b)^2 + 2(2b-a)(a-b) \\ \quad \times \cos(\varphi_1 - \varphi_2) & (a-b \leq x_0 \leq b) \\ (b-a+x_0)^2 + (a-x_0)^2 + 2(b-a+x_0) \\ \quad \times (a-x_0)\cos(\varphi_1 - \varphi_2) & (b \leq x_0 \leq a) \end{cases} \quad (7)$$

最简单的情况是 $a=2b$, 则

$I_0(x)$

$$= \begin{cases} (b-x_0)^2 + x_0^2 + 2x_0(b-x_0)\cos(\varphi_1 - \varphi_2) \\ \quad (0 \leq x_0 \leq b) \\ b^2 & (x_0 = b) \\ (x_0 - b)^2 + (2b - x_0)^2 + 2(x_0 - b) \\ \quad \times (2b - x_0)\cos(\varphi_1 - \varphi_2) & (b \leq x_0 \leq 2b) \end{cases} \quad (8)$$

(8)式或(7)式第一项与(1)式完全一致, 说明干涉分析与傅里叶分析完全等效。若 $b < \frac{a}{2}$, 也有类似结果。

(2) 当 $n=m$ 时

在前述假设下, 并设 $a=2b$, 在(3)式中, n 用 m 取代, 即得 $T_m(u)$, 再设 $t_1=1, t_2=0, t_3=e^{i\varphi_1}, t_4=e^{i\varphi_2}$, 可导出 m 级像振幅透射率:

$$t'_m(x) = \mathcal{F}^{-1}\{T_m(u)\} = \begin{cases} (b-x_0)\text{sinc}\left(\frac{b-x_0}{2b}m\right)e^{i\left(\pi\frac{x_0}{2b}m+\varphi_1\right)} \\ \quad + x_0\text{sinc}\left(\frac{x_0}{2b}m\right)e^{i\left(\pi\frac{3b+x_0}{2b}m+\varphi_2\right)} \\ \quad \times e^{i2\pi\frac{m}{2b}x} & (0 \leq x_0 \leq b) \\ \left[b \cdot \text{sinc}\left(\frac{m}{2}\right)e^{i\left(\pi\frac{b+x_0}{b}m+\varphi_2\right)} \cdot e^{i2\pi\frac{m}{2b}x}\right] \\ \quad (x_0 = b) \\ \left[(x_0 - b)\text{sinc}\left(\frac{x_0 - b}{2b}m\right)e^{i\left(\pi\frac{2b+x_0}{2b}m+\varphi_1\right)}\right. \\ \quad \left.+ (2b - x_0)\text{sinc}\left(\frac{2b - x_0}{2b}m\right)\right. \\ \quad \left. \times e^{i\left(\pi\frac{3b+x_0}{2b}m+\varphi_2\right)}\right]e^{i2\pi\frac{m}{2b}x} & (b \leq x_0 \leq 2b) \end{cases}$$

m 级像强度:

$$I_m(x) = t'_m(x) t_m^*(x)$$

$$= \begin{cases} \left[(b-x_0)^2 \operatorname{sinc}^2 \left(\frac{b-x_0}{2b} m \right) \right. \\ \quad + x_0^2 \operatorname{sinc}^2 \left(\frac{x_0}{2b} m \right) + 2x_0(b-x_0) \\ \quad \times \operatorname{sinc} \left(\frac{b-x_0}{2b} m \right) \operatorname{sinc} \left(\frac{x_0}{2b} m \right) \\ \quad \times \cos \left(\varphi_1 - \varphi_2 - \frac{3}{2} m \pi \right) \quad (0 \leq x_0 \leq b) \\ \\ b^2 \operatorname{sinc}^2 \left(\frac{m}{2} \right) \quad (x_0 = b) \\ \\ \left. \begin{aligned} & \left[(x_0-b)^2 \operatorname{sinc}^2 \left(\frac{x_0-b}{2b} m \right) \right. \\ & \quad + (2b-x_0)^2 \operatorname{sinc}^2 \left(\frac{2b-x_0}{2b} m \right) \\ & \quad + 2(x_0-b)(2b-x_0) \operatorname{sinc} \left(\frac{x_0-b}{2b} m \right) \\ & \quad \times \operatorname{sinc} \left(\frac{2b-x_0}{2b} m \right) \\ & \quad \times \cos \left(\varphi_1 - \varphi_2 - \frac{m}{2} \pi \right) \quad (b \leq x_0 \leq 2b) \end{aligned} \right\} \quad (9)$$

且当 m 为偶数时, 由(9)式可知 $I_m(x) = 0$, 即偶数缺级。当 $m=1$ 时, 即第 1 级象强度:

$$I_1(x)$$

$$= \begin{cases} \left[(b-x_0)^2 \operatorname{sinc}^2 \left(\frac{1}{2} - \frac{x_0}{2b} \right) + x_0^2 \operatorname{sinc}^2 \left(\frac{x_0}{2b} \right) \right. \\ \quad + 2x_0(b-x_0) \operatorname{sinc} \left(\frac{1}{2} - \frac{x_0}{2b} \right) \\ \quad \times \operatorname{sinc} \left(\frac{x_0}{2b} \right) \cos \left(\varphi_1 - \varphi_2 - \frac{3}{2} \pi \right) \\ \quad (0 \leq x_0 \leq b) \\ \\ b^2 \operatorname{sinc}^2 \left(\frac{1}{2} \right) \quad (x_0 = b) \\ \\ \left. \begin{aligned} & \left[(x_0-b)^2 \operatorname{sinc}^2 \left(\frac{x_0}{2b} - \frac{1}{2} \right) \right. \\ & \quad + (2b-x_0)^2 \operatorname{sinc}^2 \left(1 - \frac{x_0}{2b} \right) \\ & \quad + 2(x_0-b)(2b-x_0) \operatorname{sinc} \left(\frac{x_0}{2b} - \frac{1}{2} \right) \\ & \quad \times \operatorname{sinc} \left(1 - \frac{x_0}{2b} \right) \cdot \cos \left(\varphi_1 - \varphi_2 - \frac{\pi}{2} \right) \\ & \quad (b \leq x_0 \leq 2b) \end{aligned} \right\} \quad (10)$$

由(9)、(10)式可见, 非零级既是 $(\varphi_1 - \varphi_2)$ 的

函数, 又是 x_0 的函数, 故由平移光栅亦实现了密度彩色化的实时调试。

值得指出的是, 在傅里叶分析方法中, 亦可单独对光栅及编码位相片的复振幅透射率进行傅里叶变换, 得到分别相应的谱, 再对其谱进行卷积以求得总谱。

三、对光强度公式的分析及实验结果

由黑白矩形光栅或位相光栅与编码位相片平行密接, 轻微平移 x_0 , 在实验上已得到许多色彩鲜明、色调连续可调的阶梯密度片、航片及卫片的密度假彩色图片。当具有制作编码位相片的技术及微调机构, 颜色可调现象极易观察。为证实上述基本原理的正确性, 重要的是必须证明所得强度公式是正确的。

1. 在强度公式(7)中, 当 $x_0=0$ 时, $I_0 = b^2$; $x_0=a$ 时, $I_0 = b^2$; $x_0=a-b$ 时, $I_0 = (2b-a)^2 + (a-b)^2 + 2(a-b)(2b-a) \cos(\varphi_1 - \varphi_2)$; $x_0=b$ 时, $I_0 = (2b-a)^2 + (a-b)^2 + 2(a-b)(2b-a) \cos(\varphi_1 - \varphi_2)$ 。即 $I_0(x_0 = a-b) = I_0(x_0 = b)$ 。上述各种情况与直观理解一致, 且强度随 x_0 的变化以 a 为周期。

强度公式(8)中, 当 $x_0=0, b$ 时, $I_0 = b^2$, 亦与直接理解完全一致。

2. 为考查 I_0 随 x_0 变化的规律, 用公式(7)作出 $I_0 \sim x_0$ 函数曲线(图 3(a))。图中已对计算值归一。

为作出 $(I_0 \sim x_0)$ 实验曲线, 制作一单一密度值的位相片, 与洛其光栅平行密接。在白光处理系统中取零级输出, 并分别加红、绿、蓝滤色片, 移位 x_0 , 测量其输出强度。测量结果经归一化(取绿色最大值为 100)后, 示于图 3(b)。从中看出, 红、绿、蓝强度曲线以 a (等于 10, 实际 $a = \frac{1}{20}$ mm) 为周期, 在一周期内有主、次二峰, 与理论曲线基本吻

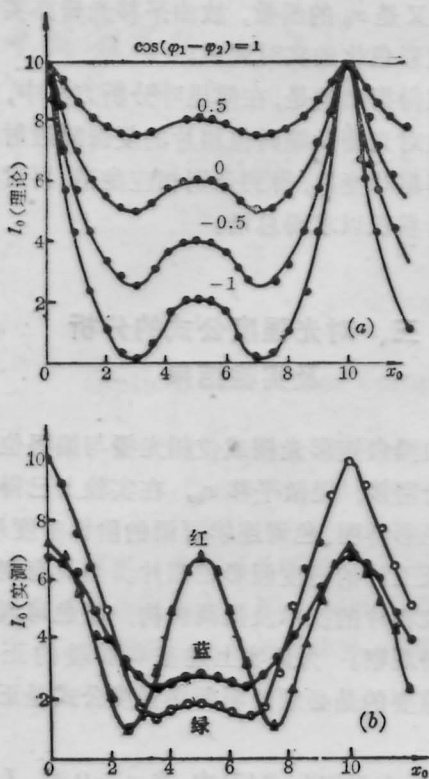


图 3

合。红、绿、蓝三色意味着不同的 $\cos(\varphi_1 - \varphi_2)$ 值。实际三色强度曲线主峰高度并不相同。理论分析中强度公式略去了随波长 λ 变化的系数；实际检测中滤色片和探测器的光谱灵敏度也未考虑。

3. 考虑编码位相片有一定吸收 ($\alpha, \beta \neq 1$)，将 $\alpha=0.5, \beta=0.75, a=10, b=5.8$ 及 $\cos(\varphi_1 - \varphi_2) = 1, 0.5, 0, -0.5, -1$ ，代入公式(6)，得 $I_0 \sim x_0$ 曲线如图 4(a) 所示。

实验测得另一块单一密度值编码位相片的 $I_0 \sim x_0$ 曲线，如图 4(b) 所示。图中示出。蓝光与红光主、次峰位置交换，绿光二峰值基本相等，符合图 4(a) 的规律。当主次峰位置变化时，更有利于色调的组合，但这不能主动控制。

4. 最后考查非零级的情况，由公式(9)，当 $n=m$ 时，

$$x_0 = 0 \quad I_m = b^2 \text{sinc}^2\left(\frac{m}{2}\right)$$

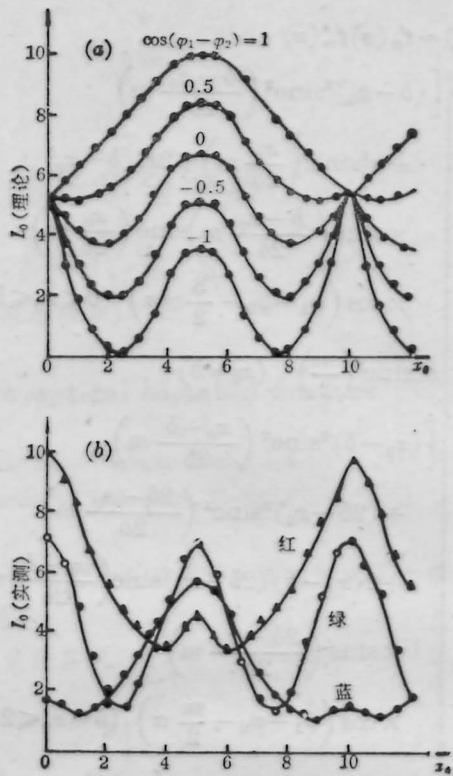


图 4

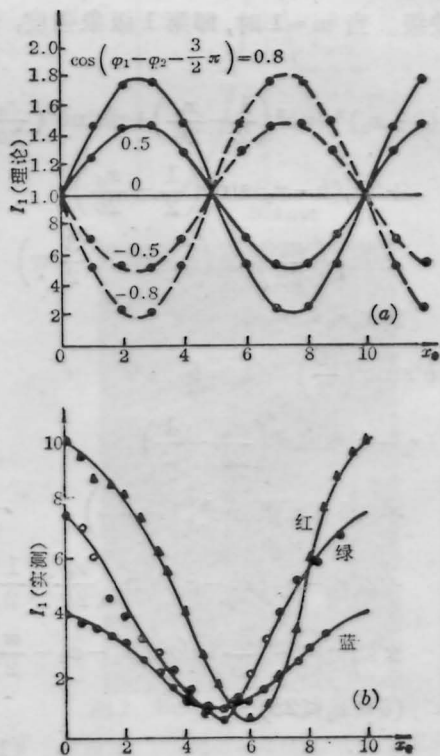


图 5

$$I_m = \begin{cases} \frac{4b^2}{m^2\pi^2} & m \text{ 为奇} \\ 0 & m \text{ 为偶} \end{cases}$$

$$x_0 = b \quad I_m = b^2 \text{sinc}^2\left(\frac{m}{2}\right)$$

$$I_m = \begin{cases} \frac{4b^2}{m^2\pi^2} & m \text{ 为奇} \\ 0 & m \text{ 为偶} \end{cases}$$

$$x_0 = a = 2b \quad I_m = b^2 \text{sinc}^2\left(\frac{m}{2}\right)$$

$$I_m = \begin{cases} \frac{4b^2}{m^2\pi^2} & m \text{ 为奇} \\ 0 & m \text{ 为偶} \end{cases}$$

上述结果仍与直接理解的一致。

$$\text{设 } a = 10, b = 5, \cos\left(\varphi_1 - \varphi_2 - \frac{3}{2}\pi\right) = -0.8, -0.5, 0, 0.5, 0.8; x_0 = 0, 1, 2, \dots$$

(上接第 358 页)

附近时小近一个量级,因而出现多模的可能性就更多。图 5 给出了注入光子密度对 $\mathcal{L}(\omega - \omega_0)$ 的影响,高的注入光子密度导致高的 $\mathcal{L}(\omega - \omega_0)$ 值,因而提高注入光子密度有利于获得单纵模输出。频率失谐的影响仅当注入光子密度很高时才十分明显,失谐愈严重,就愈容易产生多模输出。

通过以上分析可以知道,对注入光子密度的需求仅仅从输出光强方面考虑是不够的,还必须考虑单纵模输出对注入光子密度的要求,即要使 Lorentz 分布中除了中心频率以外的其他纵模小到足以忽略的程度。本文的分析说明,频率失谐对注入锁定输出的模式也有影响,尤其是在注入光子密度较高时,这种影响比较明显。为了获得单纵模输出,必须提高注入光子密度的大小,而且必须采用纵模匹配。

如果不考虑 Lorentz 分布因子 $\mathcal{L}(\omega - \omega_0)$ 在 $\omega = \omega_0$ 时与 $\omega \neq \omega_0$ 时相互之间的相对大小关系,那么输出多纵模是短脉冲注入锁定染料激光器固有的性质,输出线宽的加宽也是如此。

感谢王乃弘先生对本工作的关心,许凤明副研究员对本工作提供了多方支持。

参 考 文 献

- 1 张铁军,中国激光,16,208(1989)

附 注

为了说明功率增益系数 $\alpha(t)$ 对输出的影响,必

须给出 α_0 的值。 α_0 可以采用第一阶段中的时间平均求得,如图 6 所示, α_1 为阈值功率增益系数, α_p 为峰值功率增益系数, t_b 为泵浦过程的开始时间, t_p 为达到峰值功率增益系数的时间, t_0 为处于阈值处的开始时间。取直线近似, $\alpha(t)$ 可以表达为:

$$\alpha(t) = \begin{cases} \frac{\alpha_p}{t_p - t_b}(t - t_b) & (t_b < t < t_p) \\ \frac{\alpha_1 - \alpha_p}{t_0 - t_p}(t - t_p) + \alpha_p & (t_p < t < t_0) \end{cases}$$

于是可求得:

$$\alpha_0 = \frac{1}{t_0 - t_b} \int_{t_b}^{t_0} \alpha(t) dt$$

$$= \frac{1}{2(t_0 - t_b)} [(\alpha_1 + \alpha_p)(t_0 - t_b) + \alpha_p(t_p - t_b)]$$

公式中各量的数值可以直接从 $\alpha(t)$ 的数值计算结果查到。

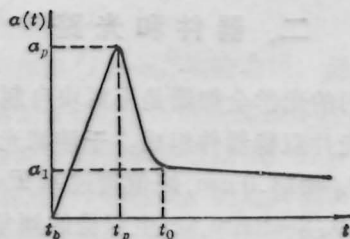


图 6 α_0 计算用图

(收稿日期:1987年10月26日)